

ستز و شناسایی جاذب نانومتخلخل جدید CMK-1/SDS-Fe ترکیبات آلی PANH با تکنیک SPE-UV در صنعت نفت، گاز و پتروشیمی

پژوهش نفت

سال بیست و سوم

شماره ۷۳

صفحه ۸۱-۹۴، ۱۳۹۲

تاریخ دریافت مقاله: ۹۰/۶/۱۰

تاریخ پذیرش مقاله: ۹۱/۴/۲۱

محمد باقر قاسمیان^{*}، منصور انبیاء^۱ و شهاب شریعتی^۲

۱- دانشگاه علم و صنعت ایران، دانشکده شیمی، آزمایشگاه تحقیقاتی مواد نانوپروس

۲- دانشگاه آزاد اسلامی واحد رشت، دانشکده شیمی

mb.ghasemian@yahoo.com

دیل سولفات سدیم (SDS) که یک سورفکtant آبیونی میباشد، اصلاح و عامل دار گردید. سپس با استفاده از این جاذب کربنی اصلاح شده (CMK-1/SDS Fe⁺³) و روش استخراج با فاز جامد (SPE)، مواد آلی ارتوفنانترولین و ۲- بای پیریدین، مورد جذب و استخراج قرار گرفتند. این جاذب نانو متخلخل جدید در زمان تعادل پایین، قابلیت بسیار بالایی برای جذب ترکیبات سمی ارتوفنانترولین و ۲- بای پیریدین از محیط آبی نشان داد. حد تشخیص این روش برای ارتوفنانترولین و ۲- بای پیریدین با استفاده از دستگاه UV-Vis (bipy) $\lambda_{max} = 264$ و $\lambda_{max} (\text{phen}) = 280$ به ترتیب $8/75$ و $10/1$ ppb تعیین گردید.

واژه های کلیدی: ارتوفنانترولین و ۲- بای پیریدین، PANH، CMK-1، SPE، نانوپروس،

چکیده

ترکیبات ارتوفنانترولین و ۲- بای پیریدین جزء ترکیبات PANH می باشند که به وفور در نفت، صنایع شیمیایی، سوموم کشاورزی، رنگ ها و آزمایشگاه های تحقیقاتی مورد استفاده قرار می گیرند. این هتروسیکل های سمی پس از ورود به محیط با یون های فلزی، کمپلکس های بسیار پایدار تولید می کنند و باعث ایجاد اثرات زیست محیطی مخرب و سرطان می گردند. لذا این مقاله به بررسی روشهای کارآمد برای اندازه گیری و حذف این آلاینده ها از محیط آبی و پساب های نفتی و صنعتی توسط یک جاذب نانومتخلخل جدید پرداخته است. برای این منظور، ابتدا ترکیب جاذب و نانومتخلخل MCM-48 تحت شرایط هیدروترمال با استفاده از سورفکtant کاتیونی ستیل تری متیل آمونیوم برمید (CTAB) و ماده معدنی تترا اتیل اورتو سیلیکات (TEOS) سنتز گردید که سورفکtant TEOS به عنوان قالب برای جهت دهنی ماده معدنی CTAB به کار برده می شد. سپس این ماده نانوساختار سنتز شده به عنوان قالب برای سنتز ترکیب نانومتخلخل کربنی CMK-1 مورد استفاده قرار گرفت. در آخرین مرحله سنتز، این ترکیب نانومتخلخل تولید شده با یون های Fe⁺³ نمک دو

مقدمه

حضور ترکیبات آلی در آب، عامل مهمی در میزان کیفیت آن به شمار می رود. آلاینده های آلی، شمار زیادی از آلاینده های گوناگون را در بر می گیرد. گروه های اصلی این

- واکنش گر سنتز رنگ‌ها
- شناساگر در آزمایشگاه‌های تجزیه‌ای این مواد از طریق پساب‌های صنایع و آزمایشگاه وارد محیط زیست می‌شوند. ارتوفنانترولین و ۲^۱-بای پیریدین دارای اتم‌های نیتروژن در ساختار خود هستند، که این خاصیت آنها را در آب محلول‌تر از هموسیکل‌های مشابه می‌سازد و باعث می‌شود بیشتر در محیط زیست موجود باشند. این ترکیبات سرطان‌زا بوده و باعث جهش‌های ژنتیکی می‌شوند و برای موجودات زنده آبزی بسیار سمی‌اند [۵].

تا کنون روش‌های بسیار زیادی برای حذف ترکیبات آلانینه از آب‌ها پیشنهاد شده و تحقیق در این رابطه همچنان ادامه دارد. در بین روش‌های مذکور، تکنولوژی جذب، توسعه و کاربرد بیشتری یافته است. جاذب‌های بسیار زیادی نیز برای حذف این ترکیبات به کار رفته است. از جمله این جاذب‌ها می‌توان به زئولیت، کربن‌های فعال، خاک رس، رزین‌های تعویض یون، جاذب‌های پلیمری و جاذب‌های زیستی اشاره نمود [۶]. در بین جاذب‌های ذکر شده، ابتدا کربن فعال و زئولیت به علت ظرفیت بالای جذب و در دسترس بودن مورد توجه قرار گرفتند، اما معایب این جاذب‌ها سبب شده که مطالعات روی خانواده دیگری از جاذب‌ها متتمرکز شود. در سال‌های اخیر نسل جدیدی از جاذب‌های متخلخل به بازار عرضه شدند که کارایی آنها در زمینه جذب مؤثر و در برخی موارد منحصر به فرد برای گونه‌های مختلف به اثبات رسیده است. این جاذب‌ها که از خانواده جاذب‌های نانو متخلخل هستند، دارای حفراتی در اندازه ۵۰–۲ نانومتر هستند و با نام کلی ترکیبات مزوپروس شناخته شده‌اند [۷].

ستز و طراحی یک جاذب مناسب که علاوه بر داشتن توانایی جذب ترکیبات مذکور، ظرفیت جذب^۱ بالای داشته و در محیط نفتی پایداری لازم و کافی نیز داشته باشد، از جمله اهداف مهم صنعت نفت است. امروزه نسل جدید جاذب‌های نانوپروس که دارای خصوصیات منحصر به فردی در زمینه جذب ترکیبات می‌باشند، مورد استفاده محققین قرار گرفته‌اند. از جمله این خواص

آلینده‌ها را می‌توان به صورت زیر دسته‌بندی کرد:
- آفت کش‌ها، حشره‌کش‌ها، قارچ کش‌ها، علف کش‌ها و ...

- پساب‌های صنعتی
- پساب‌های شهری (خانگی)
- پساب‌های کشاورزی
- هیدروکربورهای نفتی (به ویژه هیدروکربورهای آروماتیک چند حلقه‌ای)

مواد آلی منابع اکسیژن رودخانه‌ها را مصرف می‌کنند و باعث ایجاد مزه ناخوشایند، بوی نامطبوع و متعفن می‌شوند. ماهی‌ها و اکثر موجودات آبزی، به دلیل کمبود اکسیژن از بین می‌روند و میزان اکسیژن به همراه سایر شرایط آب جاری، تعیین کننده زندگی یا مرگ ماهی‌ها می‌باشد. به طور کلی میزان اکسیژن محلول مورد نیاز برای زنده ماندن ماهی‌ها حدود ۳ ppm تا ۴ ppm است. کمبود اکسیژن که به علت حضور مواد آلی به وجود می‌آید، اغلب مهم‌ترین مشکل آب‌های جاری است. مواد شیمیایی آلی معینی نظری فنول‌ها در مزه آب‌های شرب اثر می‌گذارند. اگر آب رودخانه‌های فنول‌دار به داخل چاه‌ها نفوذ کند، سبب ایجاد مزه‌های دارویی قابل تشخیص می‌شود. همچنین بسیاری از این مواد با نفوذ در بافت‌های موجودات دریایی و نیز گیاهان که منبع غذایی انسان‌ها می‌گذارد [۱ و ۲]. ترکیبات چند حلقه‌ای آروماتیک هتروسیکل دسته برای سلامت بشر آلی آب می‌باشند که مشکلات جدی برای سلامت ایجاد می‌کنند. بیشتر تحقیقات در مورد هیدروکربن‌های آروماتیک، بر روی ترکیبات هموسیکل متتمرکز شده‌اند، در حالی که دو سوم ترکیبات آروماتیک، هتروسیکل‌ها هستند که در حلقه خود دارای استخلاف‌های اکسیژن، گوگرد و یا نیتروژن می‌باشند [۳]. ارتوفنانترولین و ۲^۱-بای پیریدین دو نمونه از هتروسیکل‌های آروماتیک نیتروژن‌دار (PANHs) می‌باشند که موارد مصرف آنها عبارتند از [۴]:
- استفاده در صنایع متالوسن جهت کاربردهای: نور کافت شیمیایی، کاتالیزورهای سنتز اکسایشی، تشخیص و درمان بیماری‌ها و میکروب‌شناسی

- واکنش گر سنتز داروها

1. Adsorption Capacity

گونه در فاز جامد و شستشوی کامل آن با حلال شوینده به منظور خالص سازی و تغییظ می‌باشد. خالص سازی با جدا کردن گونه مورد نظر از مواد مزاحم و تغییظ با شستشوی گونه توسط حجم کمی از حلال شوینده حاصل می‌گردد. در این تحقیق، ابتدا جاذب مزوپروس کربنی CMK-1 ستز برای حذف ترکیبات PANH، اصلاح جاذب با سورفکتانت آئیونی SDS و یون Fe^{+3} مورد بررسی قرار گرفت. برای XRD، BET، FT-IR و SEM استفاده شد. در مراحل جذب و واجدب، ابتدا محلول‌هایی با غلظت مشخص برای رسم منحنی کالیبراسیون تهیه شد. در ادامه پارامترهای مؤثر بر فرایند جذب و واجدب از قبیل pH محلول، سرعت عبور نمونه از جاذب، مقدار جاذب، حجم حلال شوینده و سرعت عبور حلال شوینده مورد و بررسی و بهینه‌سازی قرار گرفت.

روش کار

ابتداء ترکیب جاذب و نانومتلخلخل CMK-48 تحت شرایط هیدرورترمال با استفاده از سورفکتانت کاتیونی ستیل تری متیل آمونیوم برمید (CTAB) و ماده معدنی تترا اتیل اورتو سیلیکات (TEOS) ستز گردید که سورفکتانت CTAB به عنوان قالب برای جهت‌دهی ماده معدنی TEOS به کار برده شد. سپس این ماده نانوساختار ستز شده به عنوان CMK-48 قالب برای ستز ترکیب نانومتلخلخل کربنی CMK-48 مورد استفاده قرار گرفت. در آخرین مرحله ستز، این ترکیب نانومتلخلخل به دست آمده با نمک دو دسیل سولفات سدیم (SDS) که یک سورفکتانت آئیونی می‌باشد و یون‌های آهن (III) اصلاح و عامل دار می‌شود. سرانجام از این جاذب نانومتلخلخل کربنی و اصلاح شده جدید در ستون SPE برای استخراج، اندازه‌گیری و حذف ترکیبات PANH ارتوفنانترولین و ۲-۲'-بای پیریدین استفاده شد. کلیه مراحل ستز جاذب جدید $\text{Fe}^{+3}/\text{SDS}$ CMK-1 با استخراج ترکیبات PANH و بهینه‌سازی عوامل مؤثر در فرایند استخراج به تفسیر در ادامه آمده است:

می‌توان به جذب گزینشی، ظرفیت جذب بسیار بالا، سطح ویژه^۱ زیاد، پایداری شیمیایی، حرارتی و مکانیکی بالا و توانایی احیای مجدد جاذب و همچنین قابلیت کاربرد در محیط‌های آبی و آلی اشاره نمود. در ادامه تلاش‌های محققین برای ستز ترکیبات مزوپروس، دسته جدیدی از این ترکیبات از جنس کربن با استفاده از مزوپروس‌های سیلیکاتی با اندازه حفرات در محدوده ۲ تا ۱۰ نانومتر ستز شدند. این کار برای اولین بار توسط گروه ریو در سال ۱۹۹۹ صورت گرفت. این محققین موفق به ستز ترکیب CMK-1 با استفاده از جاذب مزوپروس سیلیکاتی ۴۸ به عنوان قالب سخت و با به کارگیری روش ستزی نانوکستینگ شدند [۱۶-۸].

مهم‌ترین روش آماده‌سازی نمونه، فرآیند استخراج می‌باشد که به منظور جدا کردن و پیش تغییظ مقادیر کم گونه از بافت نمونه به کار می‌رود. بعد از جذب گونه‌ها در سطح جاذب، آنها را با یک حلال مناسب می‌شویند، یا از واجدب گرمایی استفاده می‌کنند. به دلیل مکانیسم جذب و واجدب گونه در SPE، این تکنیک شکلی از کروماتوگرافی مایع می‌باشد. استخراج با فاز جامد شامل چهار مرحله است. در ابتدا جاذب فاز جامد آماده‌سازی می‌شود، به این معنی که یک حلال (عموماً مтанول که اغلب با آب یا یک محلول بافر همراه است) به منظور مرطوب کردن مواد پر کننده و حلال پوشی گروه‌های عاملی جاذب از آن عبور داده می‌شود. در مرحله دوم نمونه همراه آنالیت از ستون عبور می‌کند و بسته به نوع نمونه و سیستم توسط یکی از تکنیک‌های عبور نمونه (جاذبه، پمپ کردن و خلاء و یا توسط یک روش اتوماتیک) از روی جاذب عبور داده می‌شود. مرحله سوم شستشوی ستون از گونه مزاحم باقی‌مانده همراه آنالیت است. شستشو، ماتریکس نمونه را از فضای بین ذرات ستون خارج می‌کند. در حالی که آنالیت باقی می‌ماند. مرحله چهارم مرحله شستشو یا واجدب آنالیت از جاذب با یک حلال مناسب است. در این مرحله بر هم کش بین جاذب - آنالیت از بین رفته و در نتیجه آنالیت شسته می‌شود. در این روش گونه جذب شده در فاز جامد با معکوس کردن مکانیسم جذبی، رها و با شوینده شسته می‌شود. هدف تکنیک SPE جذب کامل

NaOH (۵٪ آتانول - ۵٪ آب) به دست می‌آید. به منظور حل کردن کامل قالب سیلیکاتی، نمونه را در محلول ۵٪ وزنی هیدروفلوئوریک اسید حل می‌کنیم. سپس آن را صاف کرده و چند بار با استفاده از آتانول شسته و در دمای 120°C به مدت ۴ ساعت خشک می‌کنیم [۱۹]. عامل‌دار کردن ترکیب نانو متخلخل کربنی-۱ CMK-۱ با نمک دو دسیل سولفات سدیم (SDS)

۳ gr از جاذب نانو متخلخل کربنی-۱ CMK-۱ با ۵۰ cc آب محلوت شده و به این محلول آنقدر سورفکتانت دو دسیل سولفات سدیم (SDS) اضافه می‌گردد که به غلظت بحرانی سورفکتانت برسد. سپس محلول برای مدت ۶ ساعت در دمای 80°C هم‌زده می‌شود. سپس جاذب بدون شستشو صاف گردیده و در آون در دمای 110°C خشک می‌شود [۸].

اصلاح مزوپروس کربنی CMK-۱/SDS با یون آهن (iii)

برای تولید یک محلوت ۲٪ جرمی، ۴ gr از جاذب-۱ CMK-۱ با سرمه از FeCl_3 در HCl با غلظت $1/10$ نرمال، به این محلوت اضافه گردید (به طوری که غلظت نهایی یون آهن در کل محلول ۱۰ مولار شود) و محلوت حاصل به مدت ۱ ساعت هم زده شد. در انتها جاذب به دست آمده بدون شستشو صاف گردید و در دمای 60°C در آون خشک شد [۲۰].

استخراج ترکیبات PANH ارتو فنا نترولین و ۲-با پیریدین از محلول آبی با جاذب کربنی Fe^{+3} CMK-۱/SDS برای آماده‌سازی و پر نمودن ستون، ابتدا انتهای ستون با مقدار معینی از پشم شیشه تجزیه‌ای پر می‌شود (شکل ۱). سپس روی آن یک کاغذ صافی که قطر آن کاملاً متناسب با قطر ستون است و جاذب از آن عبور نمی‌کند، قرار داده می‌شود. مقدار مشخصی از جاذب سنتز شده بین این کاغذ صافی و کاغذ صافی دیگری ریخته و پک می‌شود. در انتها قبل از مرحله جذب، ستون و جاذب با چند میلی لیتر متانول و سپس با آب مقطر شسته می‌شود.

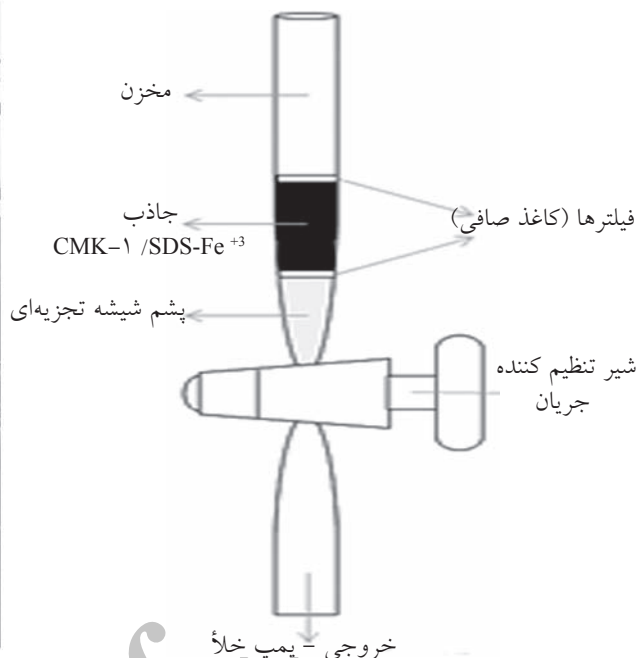
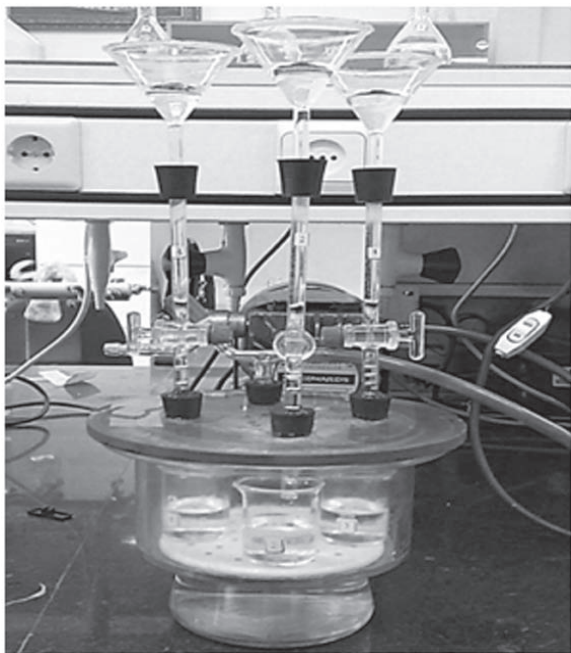
در مرحله جذب، حجم مشخصی از محلول حاوی ترکیبات PANH ذکر شده با غلظت معین به داخل مخزن ستون SPE ریخته می‌شود.

سنتز قالب سیلیکاتی MCM-48

براساس روش شائو [۱۷]، ابتدا ۱۰ cc از تترا اتیل ارتو سیلیکات را با ۵۰ cc آب مقطر دیونیزه شده محلوت کرده و محلول حاصل را برای مدت زمان یک ساعت در دمای 40°C به شدت (با استفاده از مگنت و همزن مغناطیسی) هم می‌زنیم. سپس $0.9\text{ gr}/0.19\text{ gr}$ سود و NaF را به این محلوت اضافه می‌کنیم. در این مرحله دوباره محلول به مدت یک ساعت هم زده می‌شود. در ادامه سورفاکtant استیل تری متیل آمونیوم برمید را به محلول اضافه نموده و هم زدن با منگست را برای یک ساعت دیگر ادامه می‌دهیم. نهایتاً محلوت حاصل را به مدت دو روز در دمای 160°C درون اتوکلاو قرار می‌دهیم. در این مرحله باید دقت شود ظرف نمونه به هیچ وجه تکان داده نشود. محصول نهایی حاصل را ابتدا صاف نموده و با آب مقطر در ۵ نوبت شستشو می‌دهیم و در دمای 100°C آن را خشک می‌کنیم. قابل ذکر است که حذف سورفاکtant با اعمال دمای 550°C در هوا با شبیب $1^{\circ}\text{C}/\text{min}$ ۱ برات مدت ۴ ساعت انجام می‌شود [۱۸].

سنتز ترکیب نانوپروس کربنی MCM-48

مزوپروس کربنی با استفاده از مزوپروس سیلیکاتی MCM-48 به عنوان قالب و ساکارز به عنوان منبع کربنی سنتز شد. ۱ gr از مزوپروس سیلیکاتی MCM-48 به محلولی که با استفاده از حل کردن $1/25\text{ gr}$ از ساکارز و 0.14 gr از H_2SO_4 در ۵ gr آب به دست آمده بود، اضافه شد. این محلوت به مدت ۶ ساعت در یک آون با دمای 100°C نگه داشته شد. به دنبال آن دمای آون به 160°C افزایش داده شد و ۶ ساعت دیگر نیز در این دما نگه داشته شد. در زمانی که ماده در آون تحت تأثیر حرارت قرار دارد، رنگ آن به قهوه‌ای تیره و مشکی تبدیل می‌شود. به منظور اینکه دیواره‌های قالب سیلیکاتی به طور کامل به وسیله ذرات پلیمریزه و کربنیزه شده ساکارز پوشیده شود، مرحله قبل مجدداً تکرار می‌گردد. کامپوزیت قالب سیلیکاتی - پلیمر تحت جریان گاز نیتروژن در دمای 790°C پیرو لیز می‌شود و ۶ ساعت در این دما نگه داشته می‌شود تا پلیمر کاملاً کربنیزه شود. مزوپروس کربنی با حذف قالب سیلیکاتی با استفاده از دو بار شستشو به وسیله محلول یک مولار



شکل ۱- نمایی از یک ستون SPE (راست) و سیستم SPE استفاده شده در آزمایشگاه (چپ)

شده با استفاده از دستگاه UV-Vis در طول موج های مربوطه اندازه گیری می شود. با مقایسه مقدار آنالیت واجذب شده با مقدار موجود در محلول اولیه، راندمان واجذب و استخراج به دست می آید.

نتایج و بحث

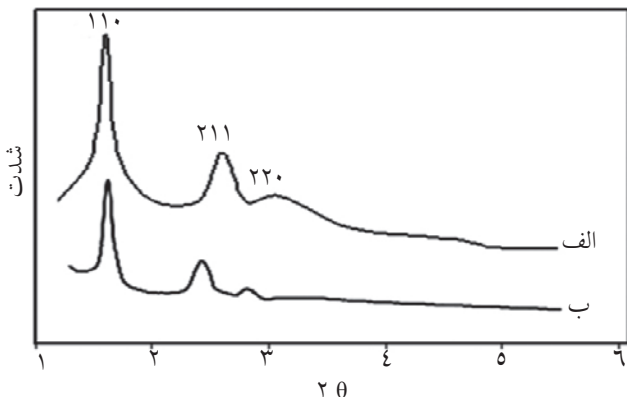
نتایج حاصل از شناسایی و تعیین مشخصات جاذب بررسی طیف XRD

به منظور بررسی ساختار حفرات ترکیبات مزوپروس سترن شده، آنالیز XRD برای نمونه مزوپروس کربنی عامل دار نشده (CMK-1) و مزوپروس کربنی عامل دار شده (CMK-1 / SDS Fe³⁺) با استفاده از دستگاه دifractometer مدل Philips ۱۸۳۰ استفاده از تابش Cu K α انجام شد. مطابق شکل ۲، طیف XRD برای ترکیب مزوپروس کربنی (CMK-1) سه پیک انعکاسی ۲۱۰ و ۲۲۰ در محدوده ۱ تا ۱۰ نشان می دهد که نمایان گر ساختار منظم مکعبی حفرات برای ترکیب مزوپروس کربنی می باشد. تطبیق الگوی XRD موجود در مقالات برای ترکیب CMK-1 صحت سترن این ترکیب و گونه های اصلاح شده را اثبات می کند [۲۲-۲۵].

سپس با روشن شدن پمپ خلا، محلول وارد ستون شده و از جاذب CMK-1 / SDS Fe³⁺ عبور می کند. هنگام عبور محلول حاوی ارتو فناترولین و ۲ و ۲'-بای پیریدین از جاذب CMK-1 / SDS Fe³⁺، این آنالیت ها به یون های [Fe(phen)₃³⁺] و [Fe(bipy)₃³⁺] تشکیل می شوند بدین ترتیب این ترکیبات مورد جذب و استخراج قرار می گیرند. با اندازه گیری مقدار ارتو فناترولین و ۲ و ۲'-بای پیریدین موجود در محلول خارج شده از انتهای ستون توسط دستگاه UV-Vis و مقایسه غلظت آن با غلظت موجود در محلول اولیه، راندمان جذب ارتو فناترولین و ۲ و ۲'-بای پیریدین توسط جاذب CMK-1 / SDS Fe³⁺ محاسبه می شود.

پس از انجام مرحله جذب، ابتدا با مکش هوا از داخل ستون برای چند دقیقه جاذب خشک می شود. سپس با استفاده از حلال دی متیل سولفو کسید (DMSO) به عنوان شوینده و مکش و عبور آن از داخل ستون و جاذب حاوی آنالیت (ارتو فناترولین یا ۲ و ۲'-بای پیریدین)، عمل واجذب (Recovery) آنالیت از روی جاذب انجام می گیرد [۲۱].

پس از رقیق کردن محلول های واجذب شده حاوی آنالیت با مقدار مناسبی از حلال DMSO، میزان آنالیت واجذب



شکل ۲- الگوی XRD، (الف) مزوپروس کربنی $\text{CMK}-1/\text{SDS-Fe}^{+3}$ و (ب) مزوپروس کربنی اصلاح شده $\text{CMK}-1/\text{SDS-Fe}^{+3}$

است. ایزوترم نوع I نشان دهنده میکروپروس‌ها، نوع IV و V مربوط به مزوپروس‌ها و نوع II و III و VI برای سایر نانوپروس‌ها می‌باشد [۲۶]. جذب نیتروژن بر روی نمونه‌های خالی شده از گاز، در دمای ۷۷ K اندازه‌گیری شد. از روی داده‌های به دست آمده نمودارهای ایزوترم جذب - واجذب نانوپروس CMK-1 و نانوپروس عامل‌دار شده CMK-1/SDS Fe^{+3} در شکل ۴ رسم شده است.

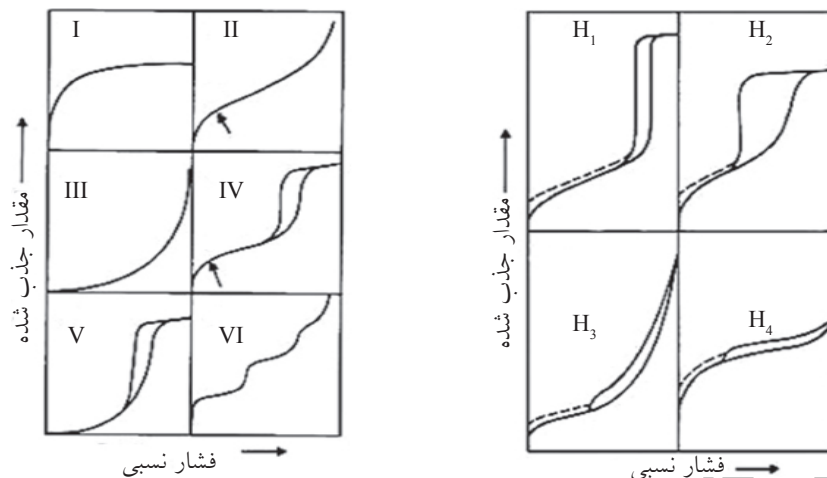
ایزوترم جذب گاز دقیقاً از نوع IV می‌باشد که با طبقه‌بندی IUPAC مبنی بر مزوپروس بودن ماده هم‌خوانی دارد [۹]. همچنین هر ایزوترم، یک حلقه پسمند جدا را نشان می‌دهد که مشخص می‌کند جاذب‌ها از نوع مزوپروس هستند. به روش BET مساحت سطح ویژه و همچنین حجم حفرات اندازه‌گیری شد. با داشتن مساحت اشغال شده توسط یک مولکول N_2 ، مساحت سطح پوشیده شده محاسبه می‌شود. جدول ۱ خصوصیات به دست آمده از آزمایشات جذب و اجذب نیتروژن برای مزوپروس کربنی CMK-1 را نشان می‌دهد.

همان‌گونه که در جدول ۱ ارائه شده، مساحت سطح ویژه ترکیب و همچنین حجم ویژه حفرات بعد از اصلاح کردن سطح، اندکی کاهش می‌یابد. در حقیقت اصلاح سطح منجر به کاهش فضای حفره می‌شود که این امر باعث تغییر در حجم ویژه حفرات و مساحت سطح ویژه حفرات می‌گردد. با این حال ساختار منظم حفرات در ترکیب مزوپروس اولیه حتی بعد از اصلاح کردن سطح باقی می‌ماند.

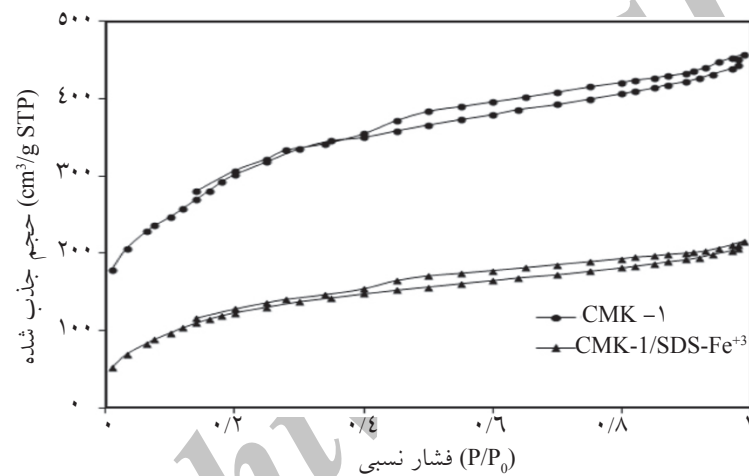
طیف XRD مربوط به ترکیب مزوپروس کربنی اصلاح شده CMK-1/SDS Fe^{+3} نیز سه پیک انعکاسی 110° ، 210° و 220° در محدوده 1 تا 10° نشان می‌دهد، با این تفاوت که شدت پیک‌ها کاهش یافته است. وجود سه پیک مشخص، نشان دهنده حضور ساختار منظم مکعبی برای این مزوپروس اصلاح شده می‌باشد بنابراین، بعد از اصلاح نیز ساختار منظم حفرات مکعبی حفظ شده است. با این وجود، همان‌گونه که مشاهد می‌شود، شدت پیک‌ها به خصوص پیک اصلی زاویه انعکاسی 110° کاهش می‌یابد. شاید دلیل این کاهش شدت تخریب جزئی در ساختار هگزاگونالی و یا کاهش کنتراست بین دیواره‌ها و حفرات به خاطر ورقه شدن لایه‌های کربنی از دیواره حفرات باشد [۹]. کاهش شدت پیک این موضوع را اثبات می‌کند که با اصلاح سطح مزوپروس کربنی، ساختار مزوپروس تنها آسیب جزئی دیده و حضور گروه‌های آلی در ساختار آن باعث به هم ریختن نظم ساختاری آن نشده است.

آزمایشات جذب- و اجذب نیتروژن

روش جذب- و اجذب نیتروژن روش بسیار ارزشمندی برای تعیین خواص فیزیکی مولکول‌های نانوپروس است. این تکنیک به طور وسیعی برای تعیین سطح، حجم و قطر حفره مواد نانوپروس به کار می‌رود. IUPAC قراردادهایی را برای طبقه‌بندی اندازه حفرات و ایزوترم‌های جذب ارائه کرده است. طبقه‌بندی ایزوترم‌های جذب توسط IUPAC در شکل ۳ نشان داده شده است. شش نوع ایزوترمی که در شکل ۳ مشاهده می‌شود نشان دهنده نوع ماده جاذب



شکل ۳- شش نوع ایزوترم جذبی و چهار نوع حلقه بیماند نشان دهنده نوع ماده متخلخل توسط IUPAC

شکل ۴- ایزوترم جذب- و اجدب نیتروژن برای مزوپروس‌های کربنی CMK-1 و CMK-1 / SDS Fe³⁺

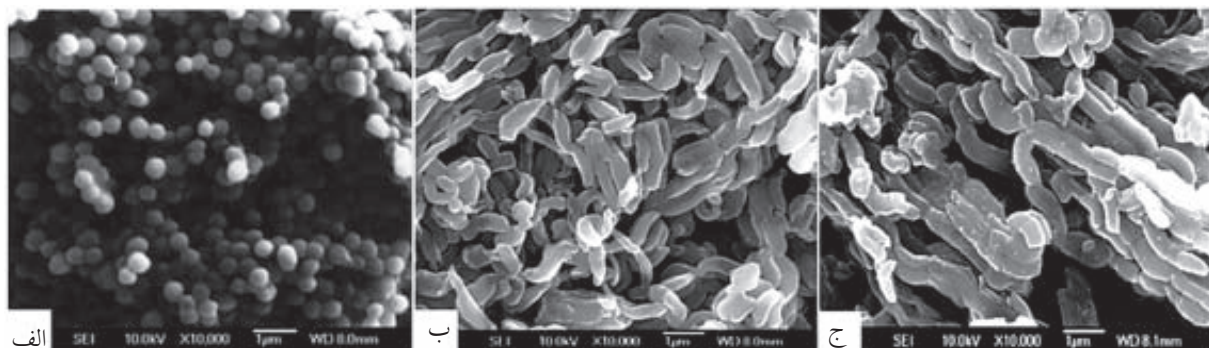
جدول ۱- خصوصیات به دست آمده از آزمایشات جذب و اجدب نیتروژن

V _p (cm ³ g ⁻¹)	A _{BET} (m ² g ⁻¹)	d spacing (nm)	جادب
۱/۳۲	۱۱۷۹/۲	۴/۱	CMK-1
۱/۱۴	۱۰۹۸/۴	۳/۷	CMK-1 / SDS-Fe ³⁺

می‌یابد و این ساختار میله‌ای شکل پس از اصلاح جاذب نیز حفظ می‌شود. همچنین این تصویر نشان می‌دهد که هر سه ماده مزوپروس دارای ساختار کریستالی بوده و این ساختار کریستالی حتی پس از کربنی شدن و اصلاح جاذب حفظ گردیده است.

بعد از واکنش عامل دار کردن مزوپروس کربنی CMK-1، اندازه ذرات جاذب کوچک‌تر می‌شود که این مسئله در مورد عامل دار کردن همه ترکیبات دیده می‌شود (شکل ۵، قسمت ج)

تصاویر میکروسکوپ روبش الکترونی (SEM) تصاویر SEM به منظور نشان دادن ساختار و مورفولوژی ذرات مزوپروس به کار گرفته می‌شود. شکل ۵ تصویر میکروسکوپ روبش الکترونی از ساختار کروی CMK-48 و میله‌ای ترکیب مزوپروس CMK-1 اصلاح نشده و اصلاح شده را نشان می‌دهد. همان‌گونه که در قسمت (الف) دیده می‌شود، مزوپروس سیلیکاتی CMK-48 دارای ساختار کاملاً کروی می‌باشد. اما پس از تبدیل به مزوپروس کربنی ساختار آن از کروی به میله‌ای تغییر



شکل ۵- تصویر SEM از (الف) مزوپروس سیلیکاتی MCM-48، (ب) مزوپروس کربنی CMK-۱ و (ج) مزوپروس اصلاح شده CMK-۱ /SDS-Fe³⁺

توسط شیر موجود روی ستون صورت گرفت. نتایج به دست

آمده به صورت نمودار در شکل ۷ رسم شده است. در مورد ترکیب ۲^۱-بای پیریدین، بیشترین میزان جذب در سرعت ۱/۵ cc/min رخ می‌دهد که اندکی کمتر از سرعنتی است که ارتوفنانترولين بیشترین میزان جذب را در آن داشت. این کاهش سرعت می‌تواند به زمان بیشتر مورد نیاز برای تشکیل کمپلکس [Fe(bpy)³⁺] باشند. میزان جذب در ۲^۱-بای پیریدین و آهن (III) در جاذب CMK-1/SDS Fe³⁺ مربوط باشد.

بررسی اثر pH

به منظور تعیین اثر pH در میزان جذب ترکیبات ارتوفنانترولين و ۲^۱-بای پیریدین بر روی جاذب CMK-1 /SDS Fe³⁺ محلول‌هایی با دامنه pH ۲ تا ۷ تهیه شد [۲۷ و ۲۸]. برای pH در محدوده اسیدی از محلول اسید کلریدریک استفاده شد. مطابق شکل ۸، فرایند جذب شدیداً تحت تاثیر pH بوده و بیشترین مقدار جذب مربوط به pH=۴ می‌باشد. جذب گونه‌ها در pH های پایین‌تر و بالاتر از این محدوده کاهش می‌باشد. در pH خیلی اسیدی، جذب ترکیبات PANH کاهش می‌یابد، زیرا پروتون موجود در سیستم با گروه‌های نیتروژن یا آمین ارتوفنانترولين یا ۲^۱-بای پیریدین بر هم کنش می‌کند. در نتیجه سایت‌های فعال آن برای تشکیل کمپلکس با Fe³⁺ روی جاذب غیرفعال شده و جذب شدیداً کاهش می‌یابد. در pH های قلیایی تر، Fe³⁺ موجود در محیط به Fe(OH)₃ تبدیل گشته و هیدروکسید می‌شود. بنابراین، تمایل خود را برای تشکیل کمپلکس‌های [Fe(phen)₃³⁺] و [Fe(phen)₃³⁺] روی جاذب از دست می‌دهد و راندمان جذب کاهش می‌یابد.

بررسی طیف‌های FT-IR

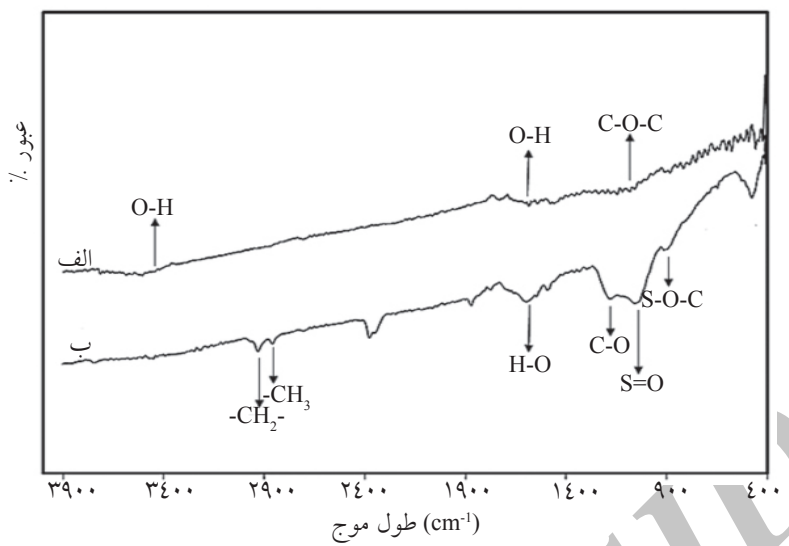
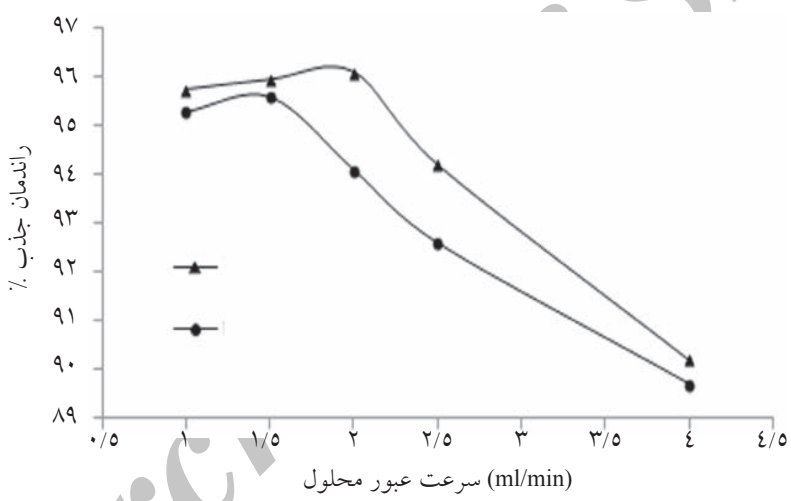
شکل ۶ طیف IR جاذب‌های مزوپروس کربنی اصلاح نشده و اصلاح شده را نشان می‌دهد. همان‌طور که در شکل دیده می‌شود، یک پیک پهن در حوالی ۳۴۵۰ cm⁻¹ در تمامی نمونه‌ها مشاهده می‌شود که این پیک را می‌توان به کشش ارتعاشی گروه هیدروکسیل O-H مولکول‌های آب جذب شده درون ساختار مزوپروس مربوط دانست. همچنین یک باند ارتعاش خمسی نیز در عدد موجی ۶۰۰ cm⁻¹ ثبت شده است. پیک مشاهده شده در ۱۰۹۷ cm⁻¹ در طیف FT-IR مزوپروس کربنی CMK-۱ اصلاح نشده ناشی از ارتعاشات کششی گروه C-O-C می‌باشد.

در طیف (الف) مربوط به مزوپروس اصلاح شده CMK-1 /SDS Fe³⁺، پیک‌های مربوط به گروه‌های S=O، S-O-C و C-O به ترتیب در طول موج‌های ۹۰۸ cm⁻¹ و ۱۰۹۵ و ۱۲۱۵ مشاهده می‌شوند. باندهای دیگر در ۲۹۲۰ cm⁻¹ و ۲۸۵۰ می‌تواند به گروه‌های -CH₂- و -CH₃- مربوط باشد. وجود این گروه‌های عاملی در طیف FT-IR قسمت (ب) حاکی از اصلاح کامل مزوپروس CMK-۱ با سورفکتانت SDS و تولید جاذب عامل دار شده CMK-1 /SDS Fe³⁺ می‌باشد.

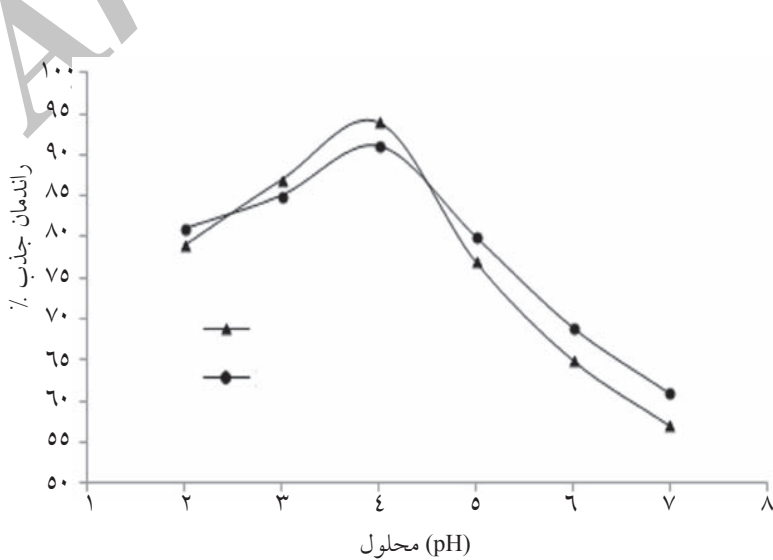
مطالعه و بررسی عوامل مهم در فرآیند جذب و واحد

بررسی اثر سرعت عبور محلول از جاذب

به منظور بررسی اثر سرعت عبور محلول از جاذب سنتز شده، محلول‌هایی حاوی ارتوفنانترولين و بای پیریدین با غلظت مشخص با سرعت‌های متفاوت از ستون SPE حاوی جاذب مورد نظر عبور داده شد. تنظیم سرعت عبور

شکل ۶- طیف FT-IR مربوط به (الف) CMK-1 و (ب) CMK-1 / SDS Fe^{+3} 

شکل ۷- تأثیر سرعت عبور محلول از جاذب بر راندمان جذب ارتوفنانترولین و ۲'-بای پیریدین

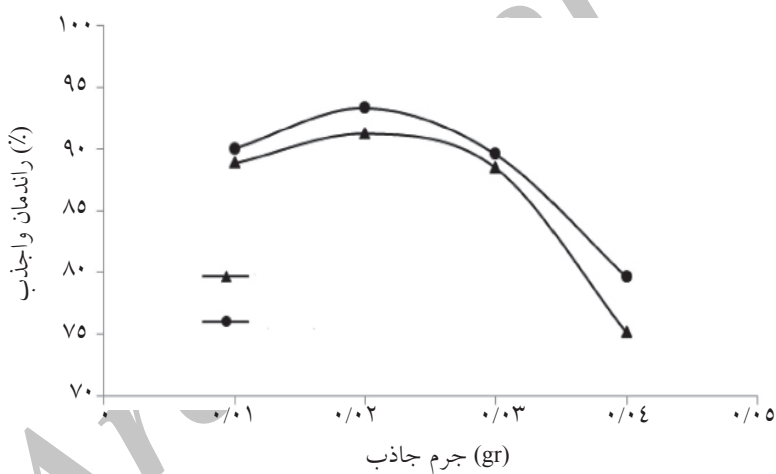
شکل ۸- تأثیر pH بر میزان جذب (الف) ارتوفنانترولین و (ب) ۲'-بای پیریدین روی جاذب CMK-1 / SDS Fe^{+3}

DMSO برای واجذب نسبتاً کامل ارتوفنانترولین و 2^{\prime} -بای پیریدین از جاذب مورد نیاز می‌باشد و افزایش حجم حلال بیش از این مقدار تأثیری بر واجذب بالاتر ندارد.

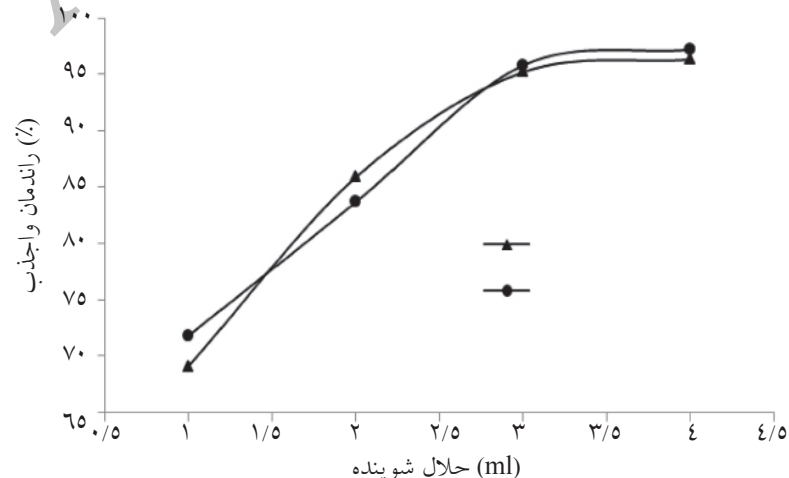
حجم حلال شوینده عامل مهم دیگری در تعیین میزان راندمان واجذب و استخراج می‌باشد. در صورتی که حجم این حلال (شوینده) از مقدار لازم کمتر باشد، واجذب به طور کامل انجام نشده و راندمان استخراج کاهش می‌یابد. از طرف دیگر مصرف بیش از حد حلال، نه تنها تأثیری بر میزان واجذب آنالیت از جاذب ندارد، بلکه باعث کاهش فاکتور پیش تغییط نیز می‌شود.

اثر سرعت عبور شوینده

سرعت عبور حلال شوینده از جاذب حاوی آنالیت، عامل مؤثر دیگری بر میزان واجذب گونه جذب شده می‌باشد.



شکل ۹- جرم جاذب بر واجذب ارتوفنانترولین و 2^{\prime} -بای پیریدین (۱۰۰ ml محلول ppm)



شکل ۱۰- اثر حجم شوینده بر واجذب ارتوفنانترولین و 2^{\prime} -بای پیریدین (۱۰۰ ml محلول ppm)

اثر جرم جاذب

یکی از عواملی که در میزان استخراج آنالیت مهم است، میزان جرم جاذب می‌باشد. اگر این میزان از مقدار لازم کمتر باشد، ممکن است مرحله جذب به طور کامل صورت نگیرد و تمامی آنالیت توسط جاذب جذب نگردد. اگر جرم جاذب از میزان بهینه بیشتر باشد، در مرحله واجذب به حجم بیشتری از حلال شوینده برای واجذب کامل نیاز است زیرا ممکن است آنالیت پس از جدا شدن از یک قسمت جاذب در قسمت بعدی دوباره جذب گردد. شکل ۹ میزان بهینه جرم جاذب را برای استخراج تقریباً کامل ترکیبات ارتوفنانترولین و 2^{\prime} -بای پیریدین از محلول آبی نشان می‌دهد.

اثر میزان حجم حلال (شوینده)
همان‌گونه که در شکل ۱۰ مشاهده می‌شود، 3 cc از حلال

می‌یابد. چند روش برای کنترل اندازه حفرات در سترن مواد مزوپروس وجود دارد. یکی از این روش‌ها تغییر در طول زنجیره سورفکتانت است. بدین ترتیب که با افزایش طول زنجیره سورفکتانت قطر حفره نهایی افزایش می‌یابد. زیرا در فرآیند تشکیل مایسل، کریستال‌های با قطر بیشتری تشکیل می‌شود [۱۹].

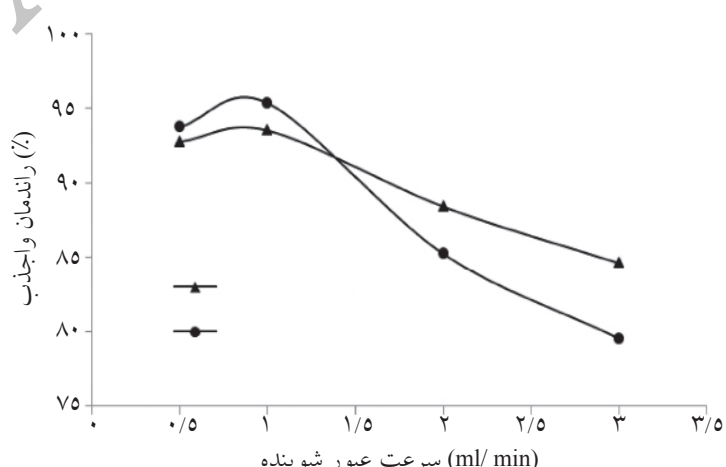
تجزیه و تحلیل داده‌های اندازه‌گیری ترکیبات PANH
میزان راندمان جاذب ترکیبات PANH توسط جاذب مربوطه از طریق مقایسه غلظت آنها در محلول اولیه و محلول عبور کرده از جاذب (محلول زیر ستون) به دست می‌آید. برای این منظور از یک محلول به حجم 100 cc و غلظت 1 mg/lit از آنالیت استفاده گردید. اطلاعات مربوط به میزان جذب فنانترولین و $2^{\prime}-\text{با}^{\prime}$ -با پیریدین توسط جاذب مورد نظر برای ۶ بار تکرار در جدول ۲ آمده است.

برای تعیین میزان جاذب ترکیبات ارتوفنانترولین و $2^{\prime}-\text{با}^{\prime}$ -با پیریدین، ابتدا جاذب حاوی این آنالیت‌ها با حجم مناسبی از حلال شسته می‌شود. پس از رقیق نمودن حلال حاوی این ترکیبات به میزان لازم، غلظت ارتوفنانترولین و $2^{\prime}-\text{با}^{\prime}$ -با پیریدین توسط دستگاه UV-Vis در طول موج مربوط به آنها اندازه‌گیری می‌شود. با مقایسه مقادیر به دست آمده با مقدار اولیه موجود در محلول آبی، راندمان واجذب و استخراج برای هر کدام از این ترکیبات به دست می‌آید. اطلاعات مربوط به واجذب فنانترولین و با پیریدین در جدول ۳ ذکر شده است.

هرگاه حلال با سرعت زیادی از جاذب عبور کند، فرصت کافی برای شکست کامل پیوندها و واجذب کامل آنالیت از جاذب را ندارد. در نتیجه، راندمان واجذب کاهش می‌یابد. از سوی دیگر، اگر این سرعت از حد معینی (سرعت بهینه عبور حلال شوینده از جاذب) کمتر باشد، ممکن است آنالیت واجذب شده در لایه‌های بعدی جاذب مجددًا جذب شده و یا به طور کامل از ستون خارج نگردد. لذا میزان واجذب و استخراج اندکی کاهش می‌یابد. شکل ۱۱ راندمان واجذب دو ترکیب ارتوفنانترولین و با پیریدین از جاذب مربوطه را در سرعت‌های شستشوی متفاوت با حلال DMSO نشان می‌دهد. مطابق این شکل، سرعت بهینه عبور حلال شوینده از جاذب برای ترکیبات ارتوفنانترولین و $2^{\prime}-\text{با}^{\prime}$ -با پیریدین به ترتیب 2 ml/min و $1/5 \text{ ml/min}$ می‌باشد.

تأثیر شکل جاذب بر راندمان جذب

شکل جاذب و اندازه حفرات جاذب متخخلل تاثیر بسیار زیادی بر راندمان جذب و استخراج ماده مورد نظر دارد. شکل میله‌ای جاذب، باعث افزایش مساحت سطح و تخلخل آن گردیده و راندمان جذب توسط این گونه ترکیبات افزایش قابل توجهی می‌یابد. از سوی دیگر، اندازه حفرات جاذب باید متناسب با ماده مورد جذب و استخراج باشد. در صورتی که اندازه این حفرات کوچکتر باشد، ماده جذب شونده نمی‌تواند به طور کامل به جاذب نفوذ نماید، لذا جذب کاهش می‌یابد. همچنین در مرحله واجذب، ماده جذب شده نمی‌تواند به راحتی از جاذب جدا شود که در هر دو صورت راندمان استخراج کاهش



شکل ۱۱- اثر سرعت شستشو بر واجذب ارتوفنانترولین و $2^{\prime}-\text{با}^{\prime}$ -با پیریدین (100 ml محلول 1 ppm).

پژوهش‌نفت • شماره ۷۳

جدول ۲- راندمان جذب ارتوفناتنرولین و ۲ و ۲'-بای پیریدین در شرایط بهینه استخراج

RSD	میانگین راندمان جذب (n = ۶)	غلظت اولیه در محلول (g/lit)	نام ترکیب
۱/۵۶	% ۹۵/۹	۱	ارتوفناتنرولین
۱/۸۹	% ۹۳/۷	۱	بای پیریدین

جدول ۳- راندمان واجذب ارتوفناتنرولین و ۲ و ۲'-بای پیریدین در شرایط بهینه استخراج

RSD	میانگین راندمان واجذب (n = ۶)	غلظت اولیه در محلول (mg/lit)	نام ترکیب
۲/۵۱	% ۹۴/۹	۱	ارتوفناتنرولین
۱/۶۸	% ۹۴/۳	۱	۲ و ۲'-بای پیریدین

مزوپرس سیلیکاتی MCM-48 سنتز گردید و به عنوان قالب برای سنتز ماده نانوپروس کربنی CMK-1 به کار گرفته شد. در مرحله بعدی سنتز، جاذب SDS با یون‌های Fe^{+3} اصلاح سطحی شد و نهایتاً جاذب MZOPROS اصلاح شده و جدید $\text{Fe}^{+3}/\text{SDS}$ به CMK-1 از جاذب آمد. سپس از این جاذب جدید برای استخراج و اندازه‌گیری ترکیبات PANH ارتوفناتنرولین و ۲ و ۲'-بای پیریدین از محیط آبی با روش SPE استفاده گردید. در تمامی آزمایشات پارامترهای مؤثر بر فرآیند جذب مانند pH محیط و سرعت عبور محلول از جاذب و پارامترهای مؤثر بر مرحله واجذب همچون نوع حلال شوینده، حجم جاذب، حجم حلال واجذب کننده و سرعت عبور این حلال از جاذب موره برسی قرار گرفت. محدوده خطی برای این فرآیند از $20 \mu\text{g}/\text{lit}$ تا $600 \mu\text{g}/\text{lit}$ تعیین گردید. حد تشخیص این روش با استفاده از جاذب سنتز شده برای دو ترکیب ارتوفناتنرولین و ۲ و ۲'-بای پیریدین به ترتیب $8/75$ و $10/1$ به دست آمد. میزان RSD از ارائه شده نشان دهنده تکرارپذیری خوب برای کلیه مراحل جذب و واجذب ارتوفناتنرولین و بای پیریدین در شرایط بهینه استخراج می‌باشد. سرانجام این روش با موفقیت برای استخراج، اندازه‌گیری و حذف دو ترکیب PANH ارتوفناتنرولین و ۲ و ۲'-بای پیریدین از محیط آبی حقیقی مورد استفاده قرار گرفت.

تشکر و قدردانی

از استاد مشاور ارجمند، بزرگوار و دلسوزم جناب آقای دکتر محمد قربان دکامین که در انجام این پژوهه بی‌هیچ چشم‌داشتشی مرا صمیمانه یاری نمودند، کمال سپاس و تشکر را دارم.

معادله خط کالیبراسیون (Y: میزان جذب، X: غلظت محلول استاندارد)، مقدار ضریب همبستگی (R^2)، محدوده خطی منحنی کالیبراسیون (LDR) و غلظت حد تشخیص (LOD: حد تشخیص از سه برابر سیگنال به نویز محاسبه شده است) برای ترکیبات PANH ارتوفناتنرولین و بای پیریدین در جدول ۴ ارائه شده است.

اندازه‌گیری نمونه حقیقی

برای بررسی کارایی روش، جهت اندازه‌گیری ترکیبات ارتوفناتنرولین و بای پیریدین در نمونه واقعی، یک نمونه از آب چاه دانشگاه علم و صنعت ایران مورد آزمایش قرار گرفت. سپس با افزودن محلول‌های استاندارد از این دو ترکیب $25 \mu\text{g}/\text{lit}$ به نمونه آب، میزان جذب و استخراج مورد اندازه‌گیری قرار گرفت. نتایج در جدول ۵ ارائه شده است. همان‌گونه که مشاهده می‌شود، در نمونه آب چاه هیچ یک از ترکیبات ارتوفناتنرولین و ۲ و ۲'-بای پیریدین وجود ندارد. ضمناً شش استخراج تکراری از تمام نمونه‌های حقیقی انجام گرفت و انحراف معیار نتایج گزارش گردیده است.

نتیجه‌گیری

در سال‌های اخیر نسل جدیدی از جاذب‌های متخلخل در آزمایشگاه‌های تحقیقاتی عرضه شده که کارایی آنها در زمینه جذب مؤثر و منحصر به فرد برای گونه‌های مختلف به اثبات رسیده است. مواد MZOPROS دسته‌ای از مواد نانوپروس هستند که اولین بار توسط محققان شرکت نفتی موبیل تهیه شدند. این مواد مساحت سطح حفرات و حجم ویژه حفرات سایر بالایی دارند. همچنین از حفرات کاملاً یک شکل و منظم تشکیل شده‌اند. در این تحقیق، ابتدا ماده

جدول ۴- معادله خط کالیبراسیون، LOD و ضریب همبستگی استخراج ترکیبات PANH ارتوفنانترولین و ۲ و ۲'-بای پیریدین از محلول آبی توسط روش SPE-UV

R^2	($\mu\text{g}/\text{lit}$)	حد تشخیص ($\mu\text{g}/\text{lit}$)	محدوده خطی ($\mu\text{g}/\text{lit}$)	معادله خط کالیبراسیون a	نام ترکیب
۰/۹۹۰۱	۸/۷۵		۲۰ - ۶۰۰	$Y = ۰/۰۰۱۳ X + ۰/۱۰۳$	ارتوفنانترولین
۰/۹۹۲۷	۱۰/۱		۲۰ - ۶۰۰	$Y = ۰/۰۰۱۴ X + ۰/۰۱۸۸$	۲ و ۲'-بای پیریدین

جدول ۵- تکرارپذیری و راندمان استخراج ترکیبات ارتوفنانترولین و ۲ و ۲'-بای پیریدین از محیط آبی حقیقی

RSD%	راندمان استخراج	غاظت اندازه‌گیری شده پس از اضافه کردن استاندارد (ppb)	غاظت در نمونه حقیقی	نام ترکیب
۳/۳۱	۸۹/۶	۲۲/۴	N.D	ارتوفنانترولین
۱/۴۱	۹۲/۷	۲۳/۲	N.D	۲ و ۲'-بای پیریدین

مراجع

- [1]. Phenol U. S. EPA Reports, *Toxicological Profile for Nitrophenols*, No: 205-88-0608, 2002.
- [2]. Phenol Hazards and Precautions, *Environmental, Health and Safty information for the Berkeley campus*, university of California, 2003.
- [3]. kuhn E. P. and Suflita J. M., *Microbial degradation of nitrogen, oxygen and sulfur heterocyclic compounds under anaerobic conditions: Studies with aquifer samples*, Environmental Toxicology and Chemistry, 8, 1149, 1989.
- [4]. Ferreiro E. A., de Bussetti S. G., "Adsorption of 1,10-phenanthroline on montmorillonites|poly(vinyl alcohol) complexes as a function of pH", Applied Clay Science 31, pp. 142–153, 2006.
- [5]. pearlman R. S., Yalkowsky S. H. and Banerjee S. J., Journal of Physical and Chemical Reference Data 13 pp. 555-562, 1984.
- [6]. Huang J., Huang K., Liu S., Wang A. and Yan Ch., Adsorption of Rhodamine B and methyl orange on a hyper-crosslinked polymeric adsorbent in aqueous solution, Colloids and Surfaces A: Physicochem. Eng. Aspects 330 pp. 55–61, 2008.
- [7]. Anbia M. and Mohammadi N., "A nanoporous adsorbent for removal of furfural from aqueous solutions", Desalination 249, pp. 150-153, 2009.
- [8]. Ryoo R., Joo S. H. and Jun S., "Synthesis of highly ordered carbon molecular sieves via template-mediated structural transformation", J. Phys. Chem. B 103, pp. 7743–7746, 1999.
- [9]. Jun S., Joo S. H., Ryoo R., Kruk M., Jaroniec M., Liu Z., Ohsuna T. and Terasaki O., "Synthesis of new nanoporous carbon with hexagonally ordered mesostructure", J. Am. Chem. Soc. 122, pp. 10712–10713, 2000.
- [10]. Ho Y. S., "Review of second-order models for adsorption systems", J. Hazard. Mater. 136, pp. 681–689, 2006.
- [11]. Eisert R. and Pawliszyn J., *New Trends in Solid-Phase microextraction*, Critical Reviews in Anal. chem, 27 pp. 103, 1997.
- [۱۲] انبیاء م., محمدی ک. و محمدی ن.ع., مواد نانوپروس (ستز، شناسایی و کاربردها)، انتشارات دانشگاه علم و صنعت ایران سال ۱۳۸۷.

- [13]. Kresge C. T., Leonowicz M. E., Roth W. J., Vartuli J. C. and Beck J. S., “*Ordered mesoporous molecular sieves synthesized by a liquid-crystal template mechanism*”, Nature 359, pp. 710–712, 1992.
- [14]. Ball P., *Made to measure*, Princeton University Press Princeton NJ, USA, 1997.
- [15]. Sing K. S. W., Everett D. H., Haul R. A. W., Moscou L. and Pierotti R. A., “*Reporting physisorption data for gas/solid systems — with special reference to the determination of surface area and porosity*”, J. Pure Appl. Chem. 57, pp. 603–619, 1985.
- [16]. Anbia M. and Lashgari M., “*Synthesis of amino-modified ordered mesoporous silica as a new nano sorbent for the removal of chlorophenols from aqueous media*”, Chem. Engin. J. 150 (2-3), pp. 555-560, 2009.
- [17]. Shao Y., Wang L., Zhang J. and Anpo M., “*Synthesis of hydrothermally stable and longrange ordered Ce-MCM-48 and Fe-MCM-48 materials*”, Micropor. Mesopor. Mater. 109, pp. 20835–20841, 2005.
- [18]. Anbia M. and Ghaffari A., “*Adsorption of phenolic compounds from aqueous solutions using carbon nanoporous adsorbent coated with polymer*”, Appl. Surf. Sci. 255, pp. 9487–9492, 2009.
- [19]. Anbia M. and Moradi S. E., “*Removal of naphthalene from petrochemical wastewater streams using carbon nanoporous adsorbent*”, Appl. Surf. Sci. 255, pp. 5041–5047, 2009.
- [20]. Li S-Z and Wu P-X, “*Characterization of sodium dodecyl sulfate modified iron pillared montmorillonite and its application for the removal of aqueous Cu(II) and Co(II)*”, Journal of Hazardous Materials. 173, pp. 62-70, 2009.
- [21]. Zypler A., Wasik A. and Namiesnik, “*Retention behaviour of some high-intensity sweeteners on different SPE sorbents*”, J Talanta. 82, pp. 1742-1748, 2010.
- [22]. Sakintuna B., Yurum Y., “*Templated porous carbons*”, Ind. Eng. Chem. Res. 44, pp. 2893-2902, 2005.
- [23]. Beck J. S., Vartuli J. C., Roth W. J., Leonowicz M. E., Kresge C. T., Schmitt K. D., Chu C. T.W., Olson D. H., Sheppard E. W., McCullen S. B., Higgins J. B. and Schlenker J. L. , “*A new family of mesoporous molecular sieves prepared with liquid crystal templates*”, J. Am. Chem. Soc. 114 (27), pp. 10834–10843, 1992.
- [24]. Macquarrie D. J., “*Direct preparation of organically modified MCM-type materials. Preparation and characterization of aminopropyl-MCM and 2-cyanoethyl-MCM*”, Chem. Commun. 16, pp. 1961–1962, 1996.
- [25]. Colilla M., Balas F., Manzano M. and Vallet-Regí M., “*Novel method to synthesize ordered mesoporous silica with high surface areas*”, Solid State Sci. 10, pp. 408-415, 2008.
- [26]. Machin W. D. and B. I., Parsons D. S., “*Montgomery Mine Branch Technical Survey*”, TB 26, pp. 449-455, 1991.
- [27]. Hosseini M. S., Hashemi-Moghaddam H. and Kardan-Moghaddam G., “*Separation and Preconcentration of Ag(I) in Aqueous Samples by Flotation as an Ion-Associate Using Iodide and Ferroin Followed the Determination by Flame Atomic Absorption Spectrometry*”, Annali di Chimica. 97, pp. 17-23, 2007.
- [28]. Mutaftchiev K., “*Kinetic, spectrophotometric determination of nanogram levels of manganese(II) using catalytic azo dye—potassium periodate—1,10-phenanthroline system*”, Chemical Papers. 60, pp. 279-282, 2006.